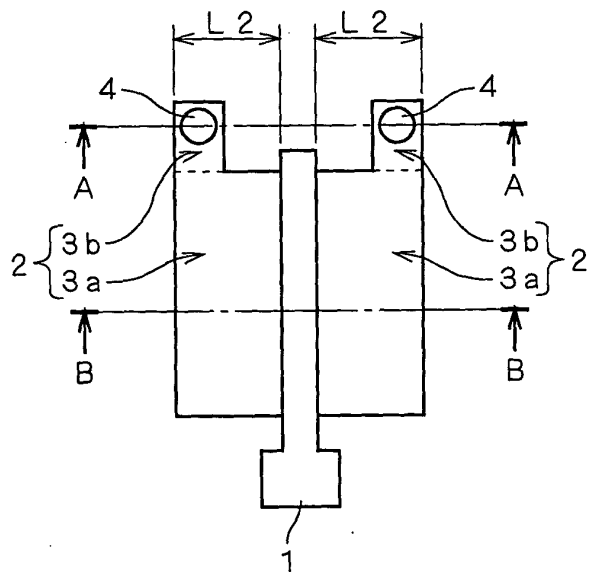
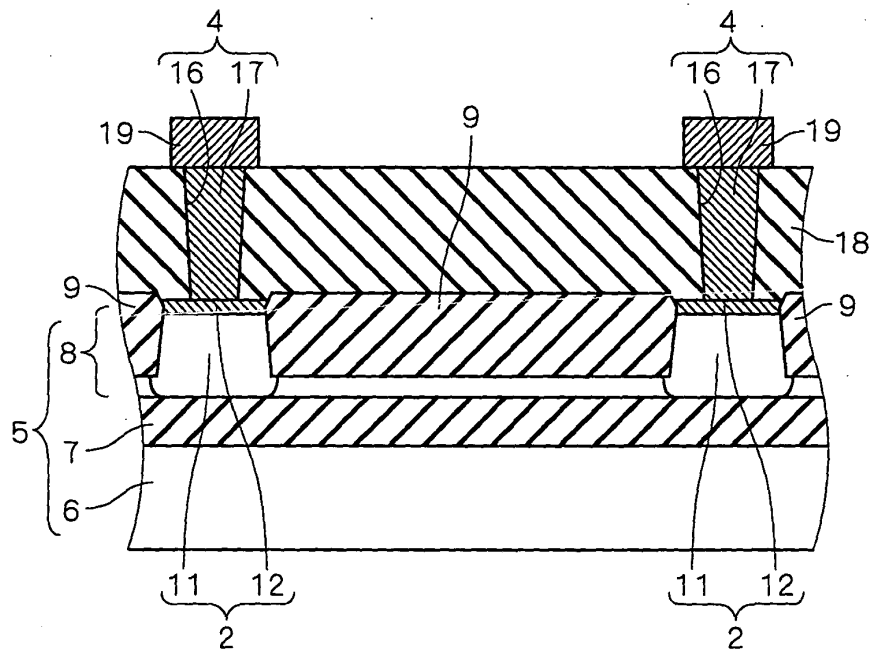


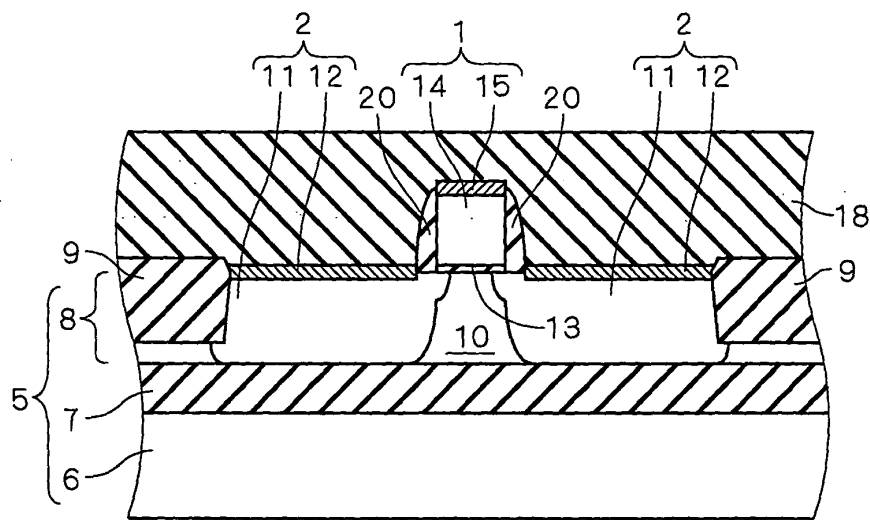
F I G . 1



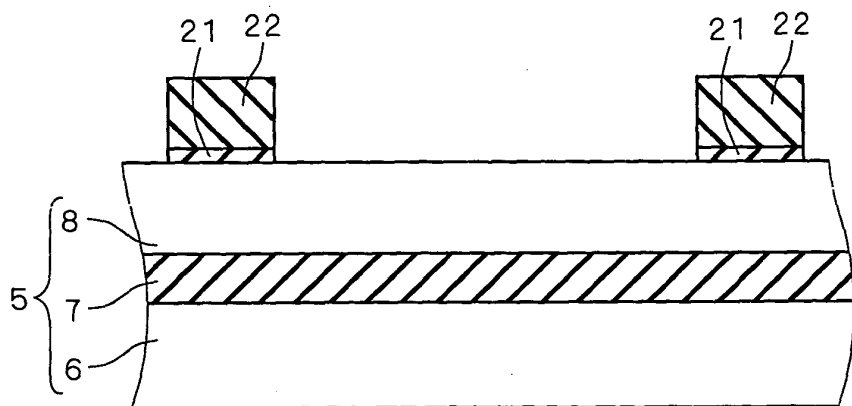
F I G . 2A



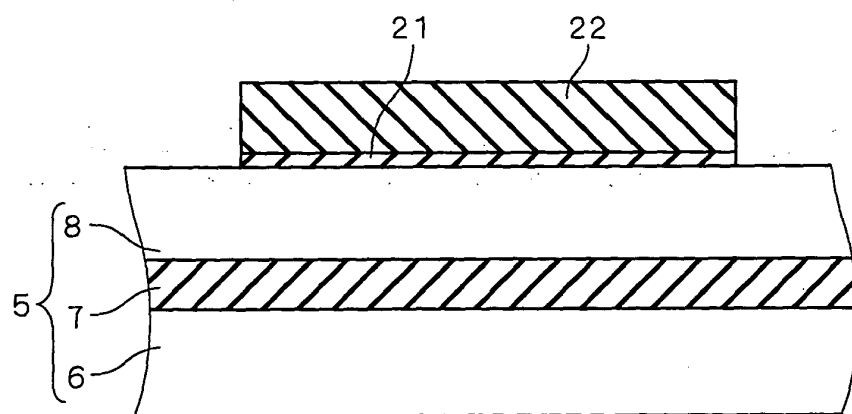
F I G . 2B



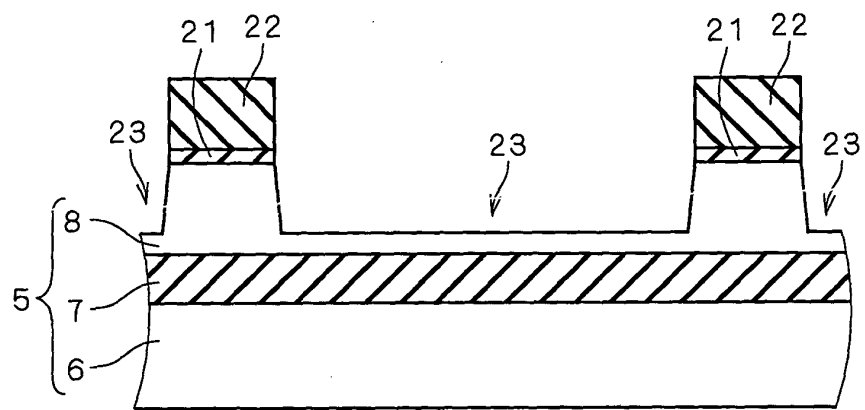
F I G . 3A



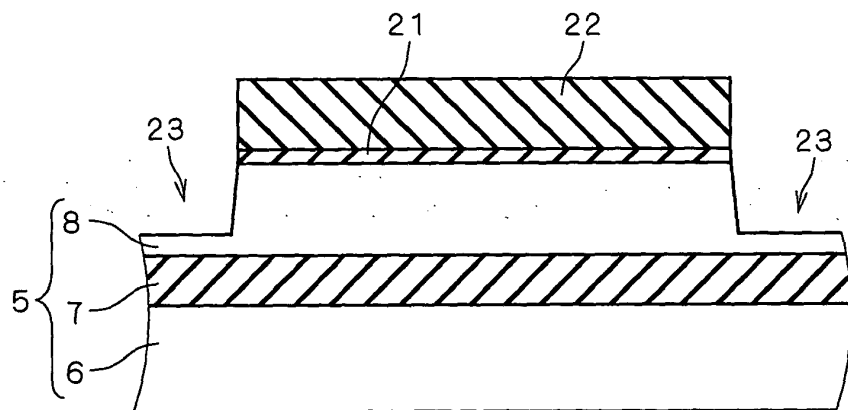
F I G . 3B



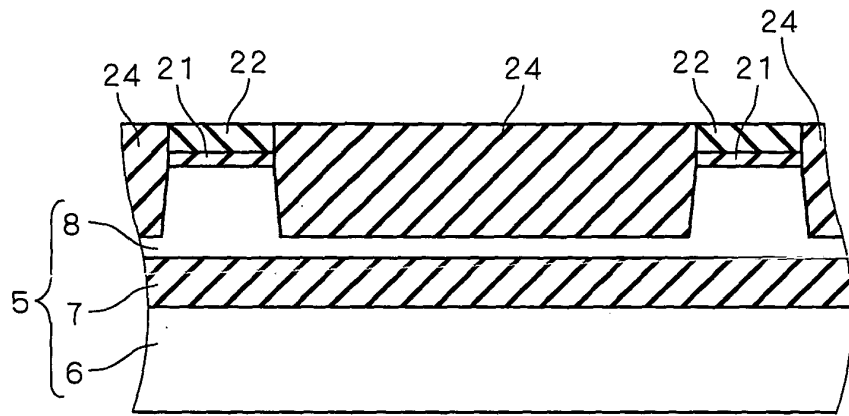
F I G . 4A



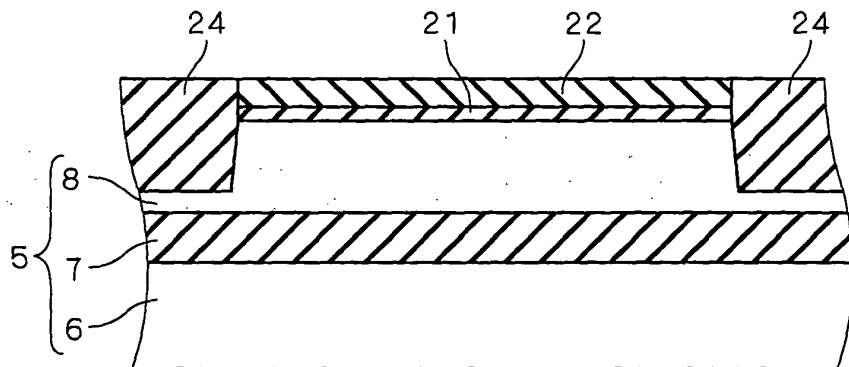
F I G . 4B



F I G . 5A

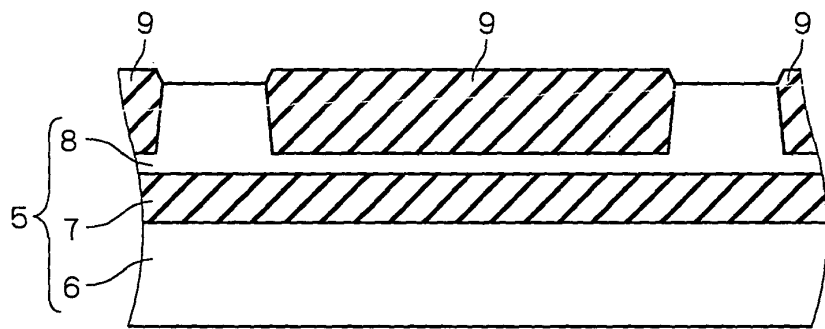


F I G . 5B

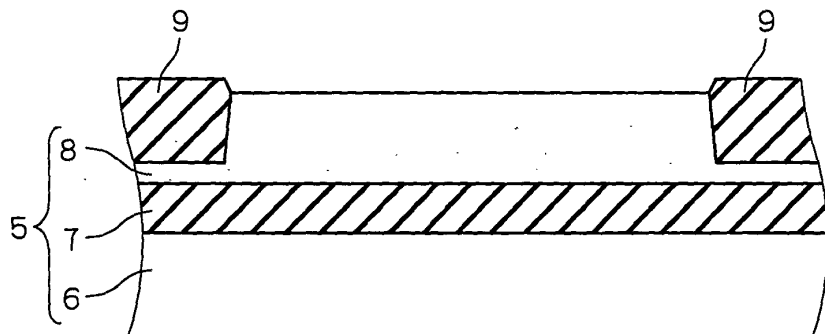


OBLON, SPIVAK, ET AL
DOCKET #: 202887US2
INV: Yuichi HIRANO, et al.
SHEET 6 OF 22

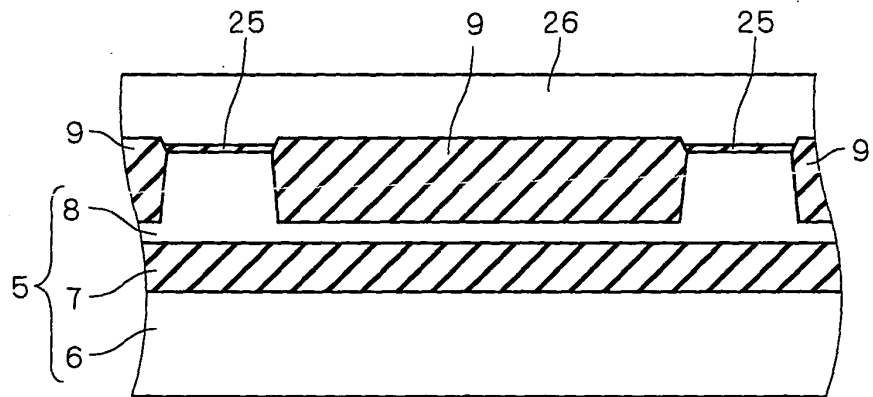
F I G . 6A



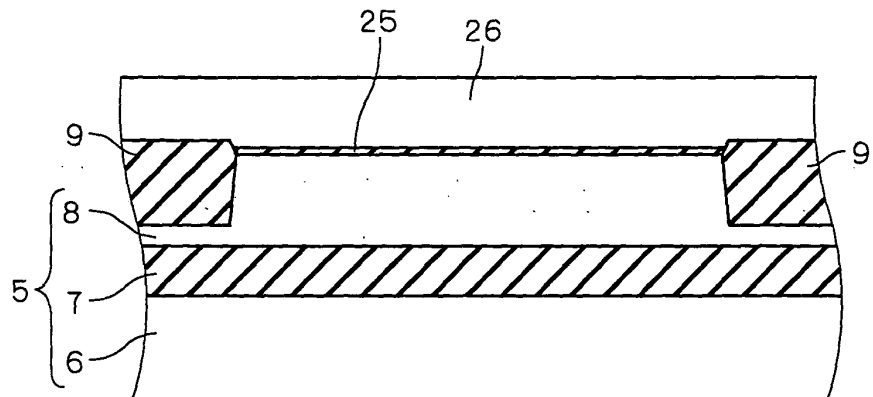
F I G . 6B



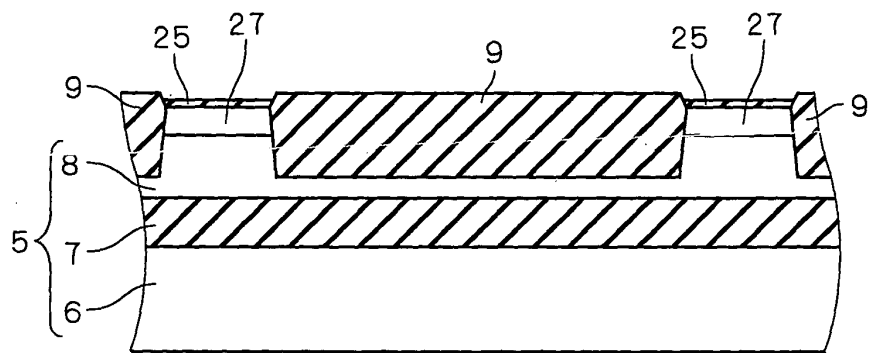
F I G . 7A



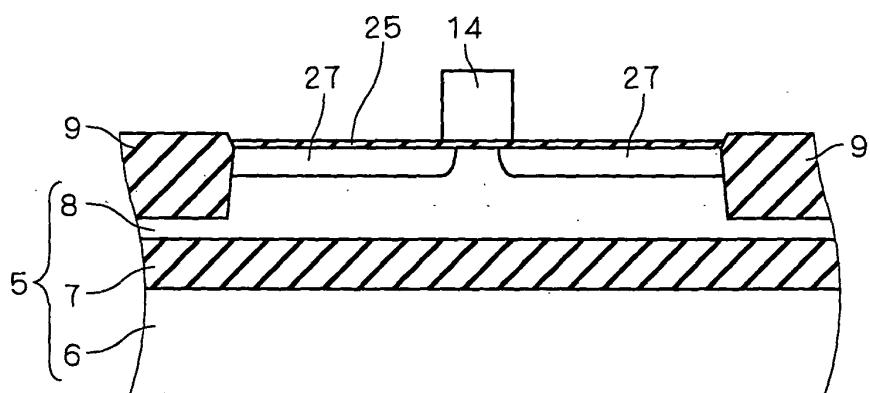
F I G . 7B



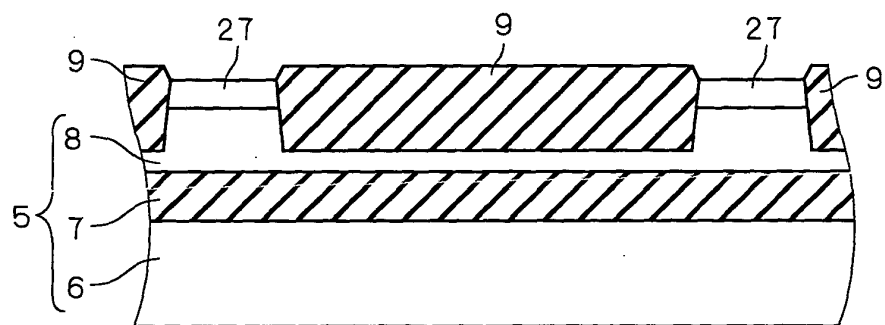
F I G . 8A



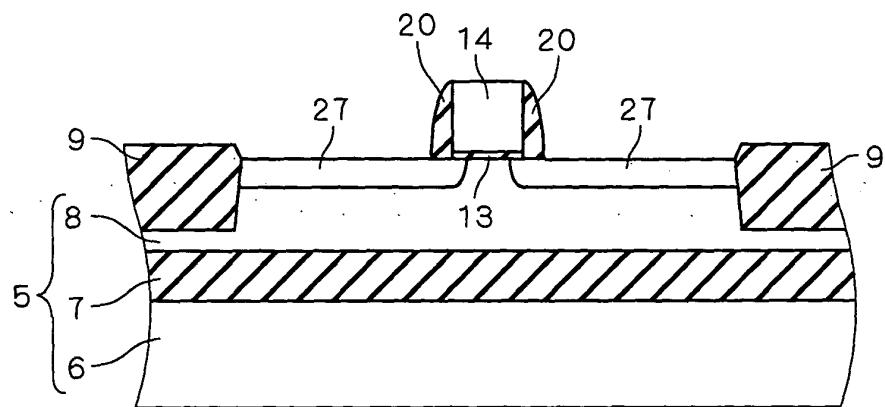
F I G . 8B



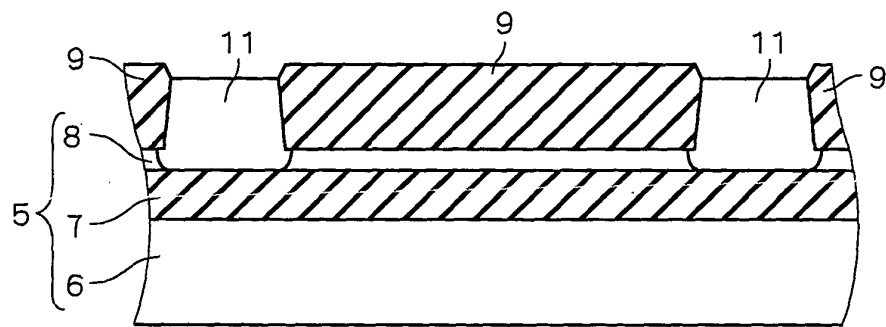
F I G . 9A



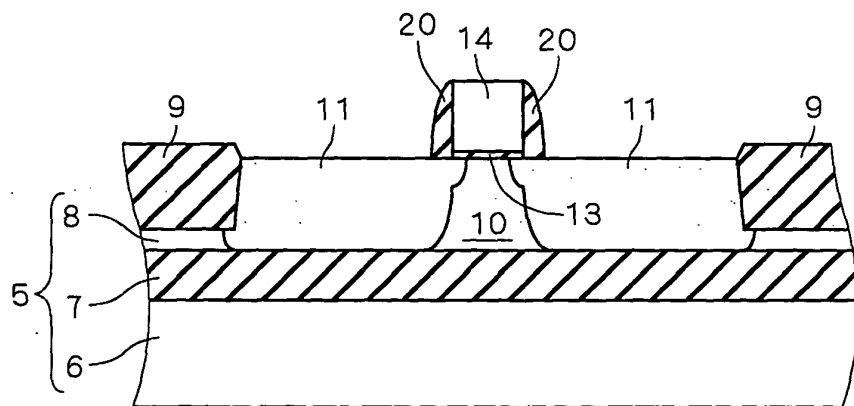
F I G . 9B



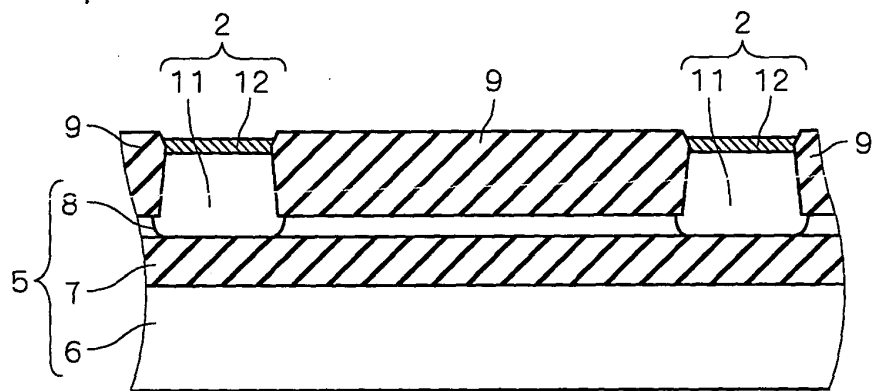
F I G . 10A



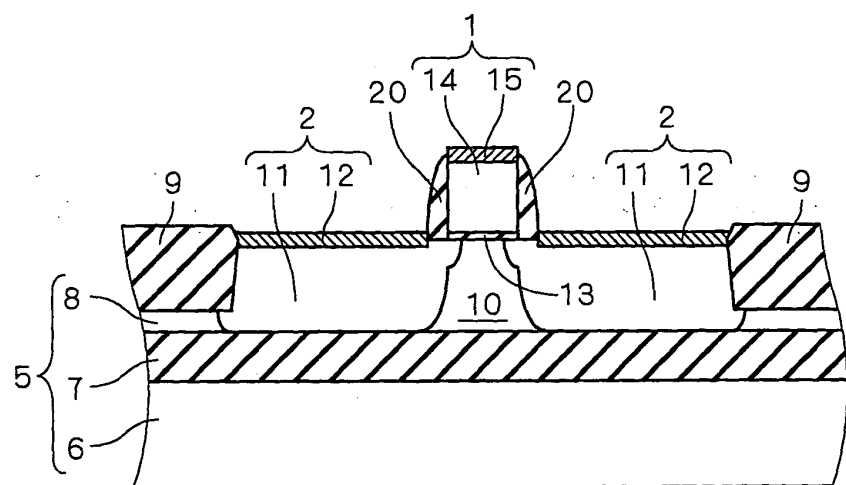
F I G . 10B



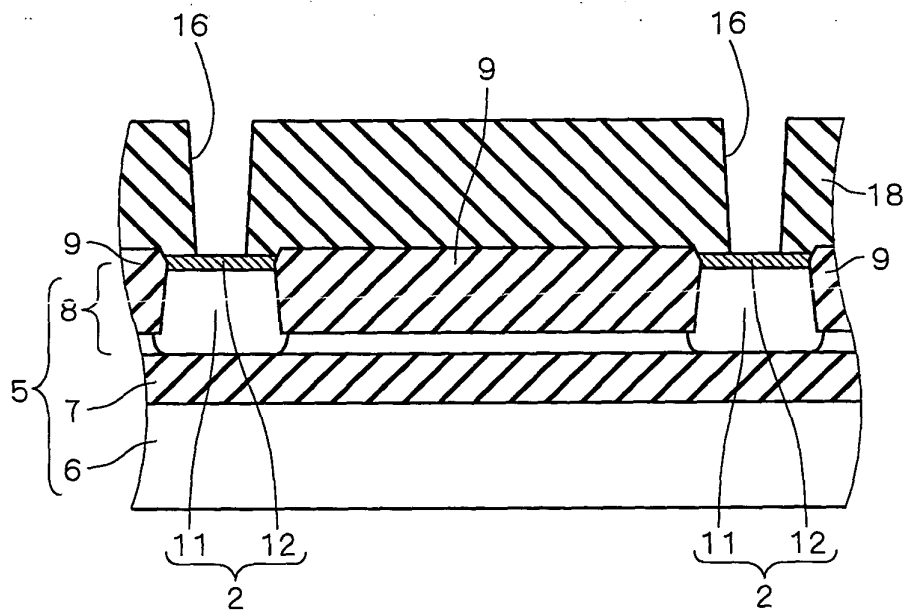
F I G . 11A



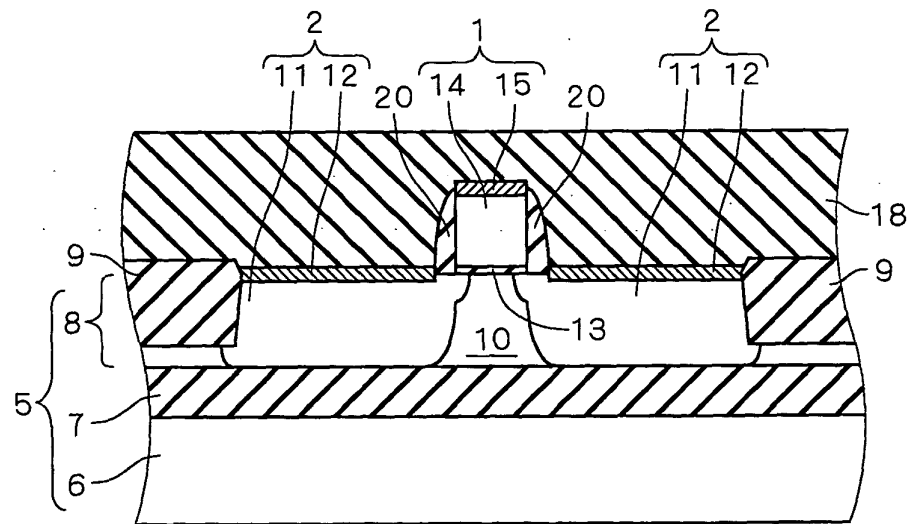
F I G . 11B



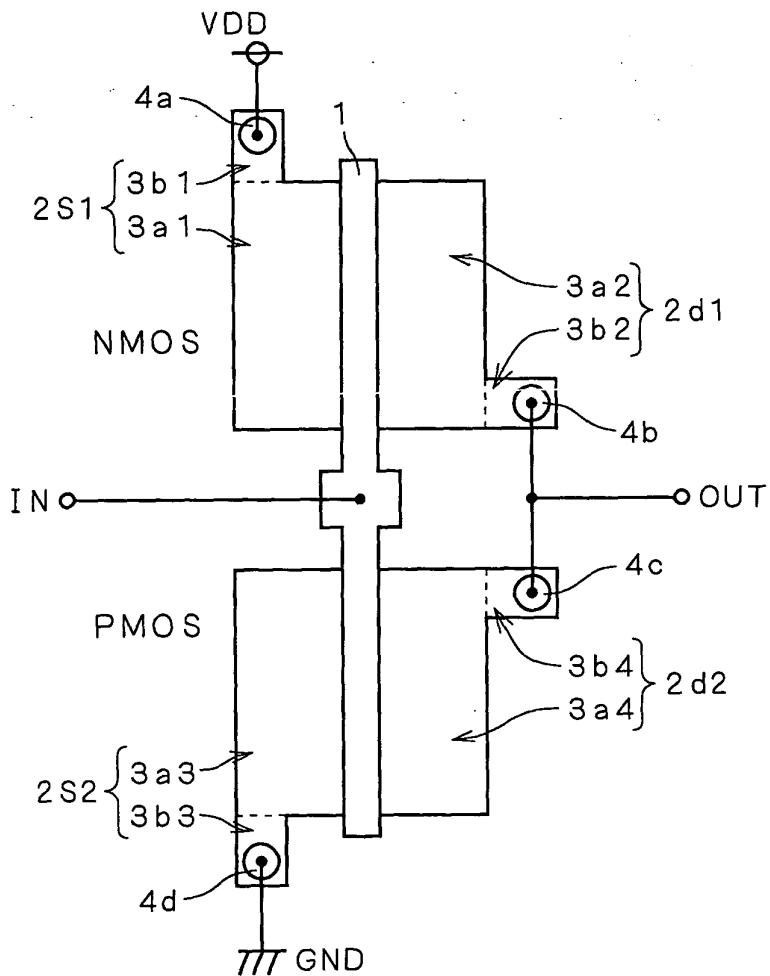
F I G . 12A



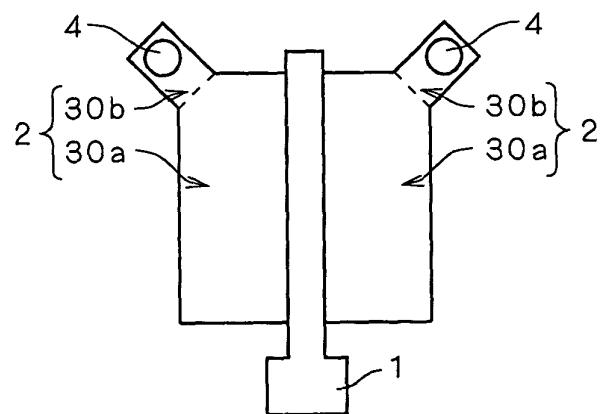
F I G . 12B



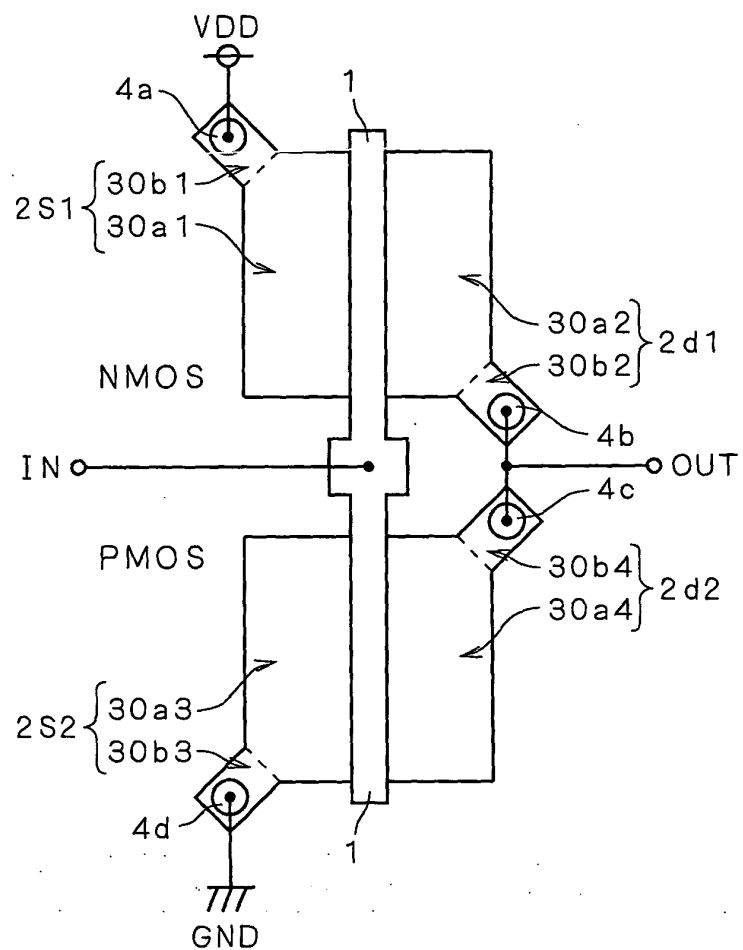
F I G . 13



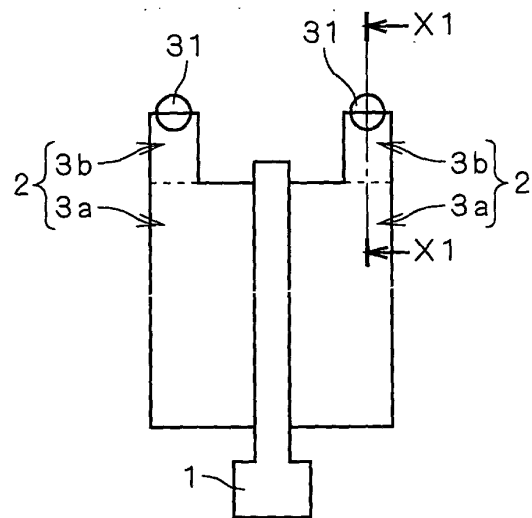
F I G . 14



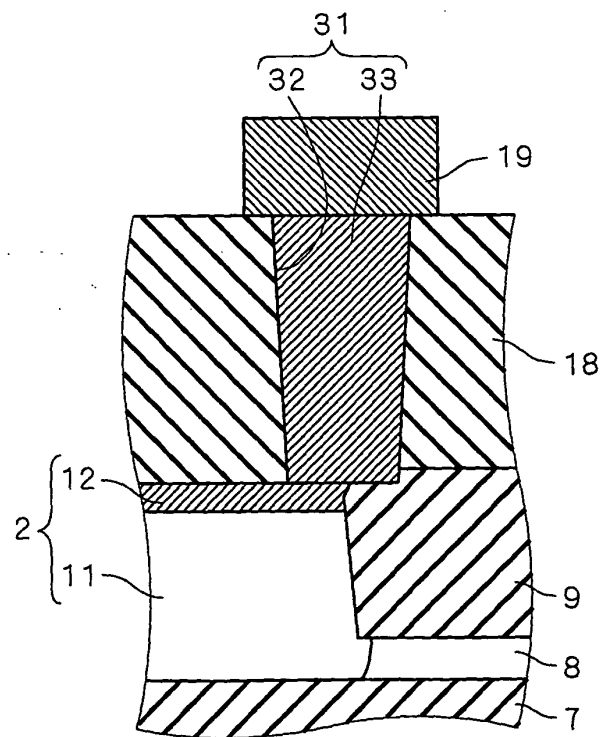
F I G . 15



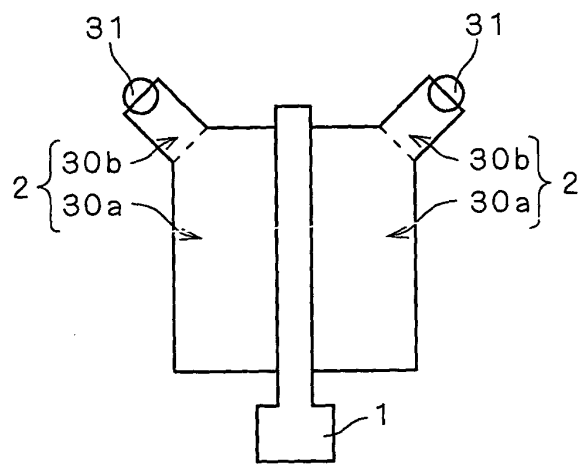
F I G . 16



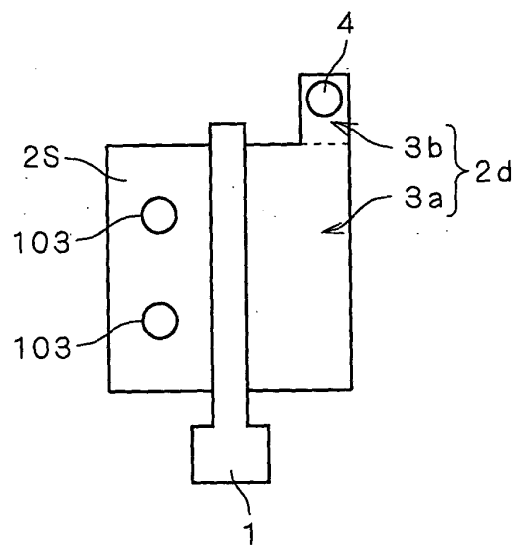
F I G . 17



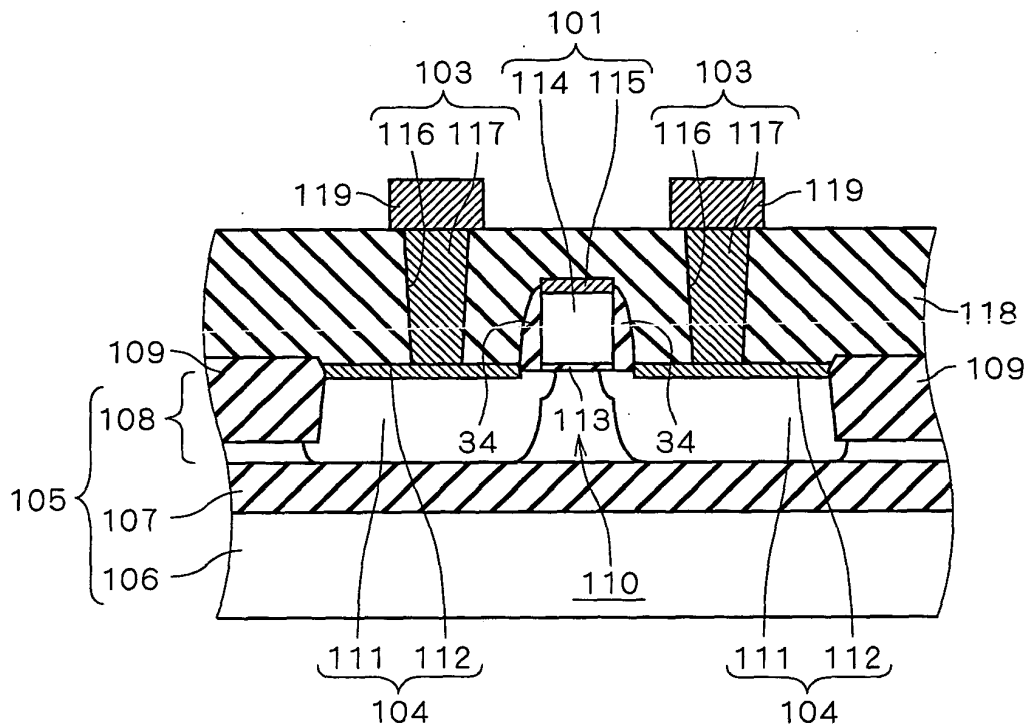
F I G . 18



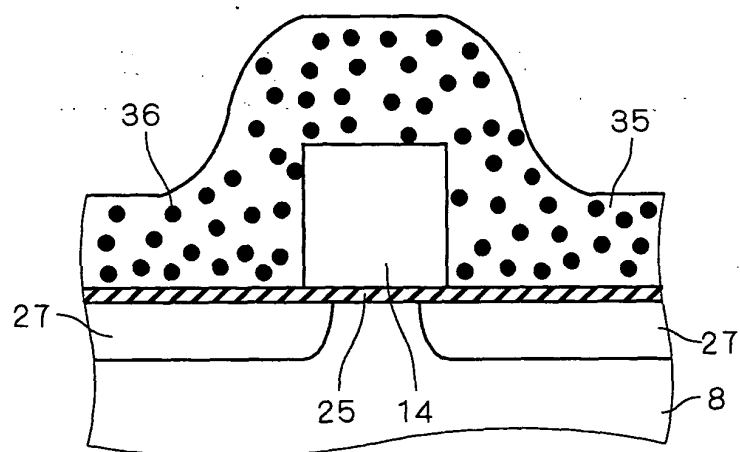
F I G . 19



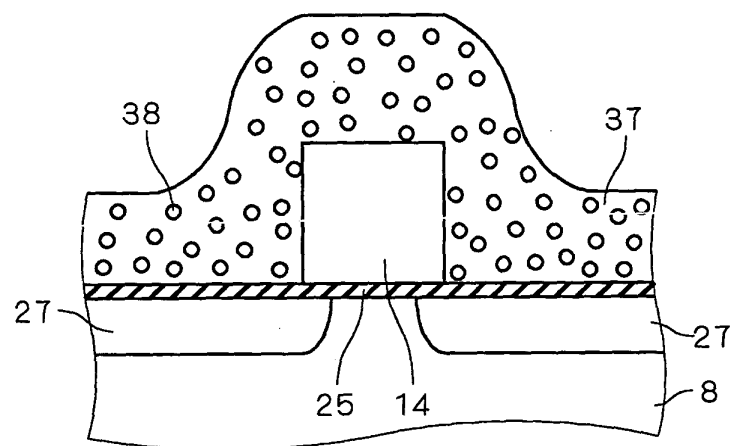
F I G . 20



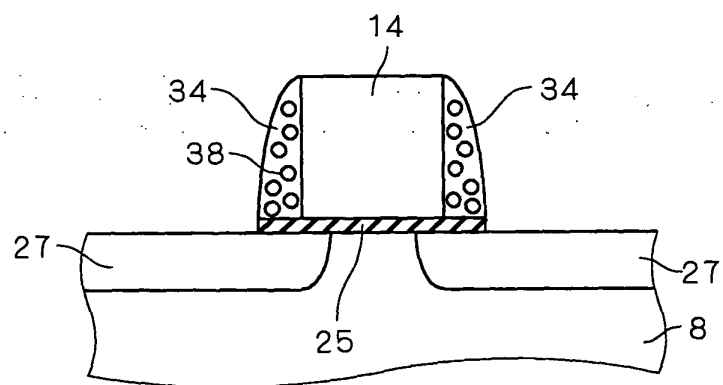
F I G . 21



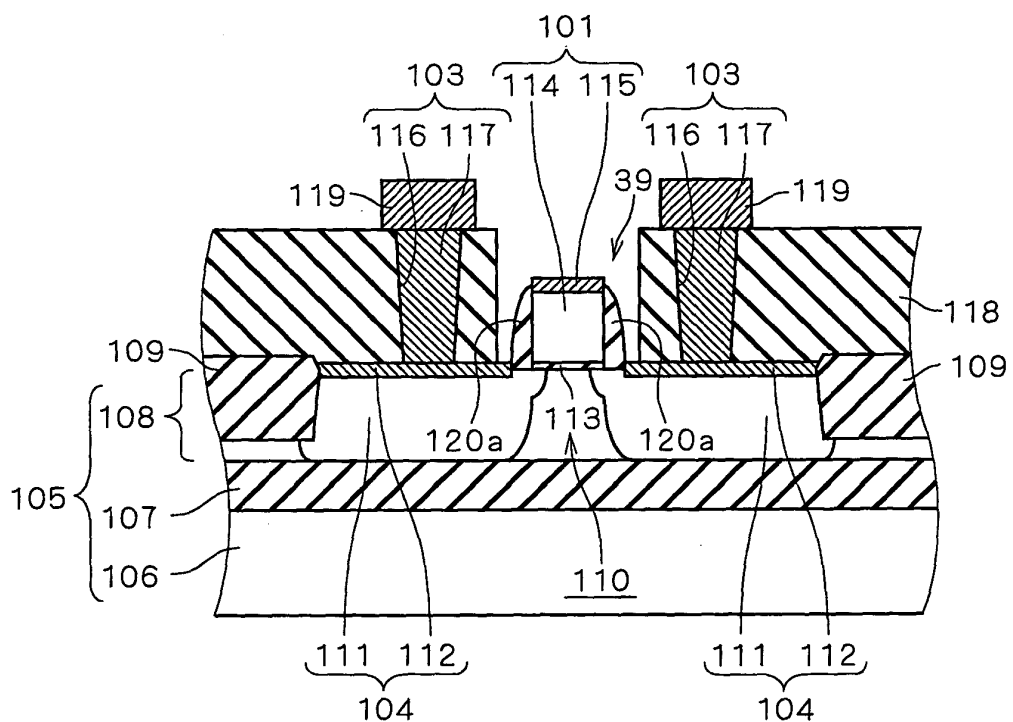
F I G . 22



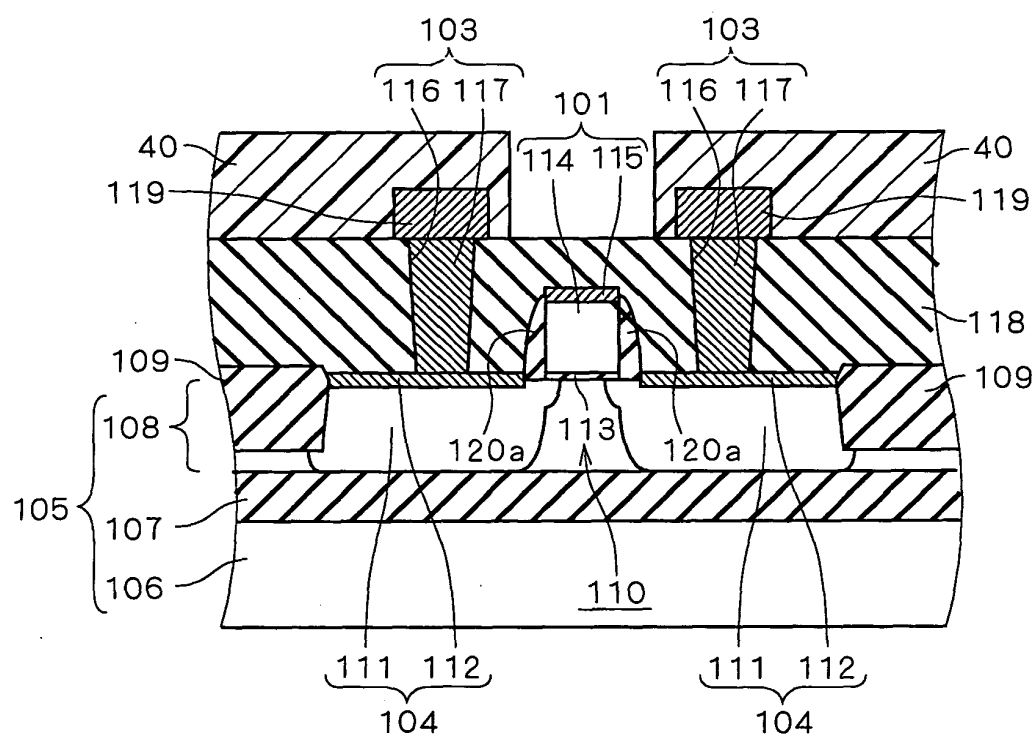
F I G . 23



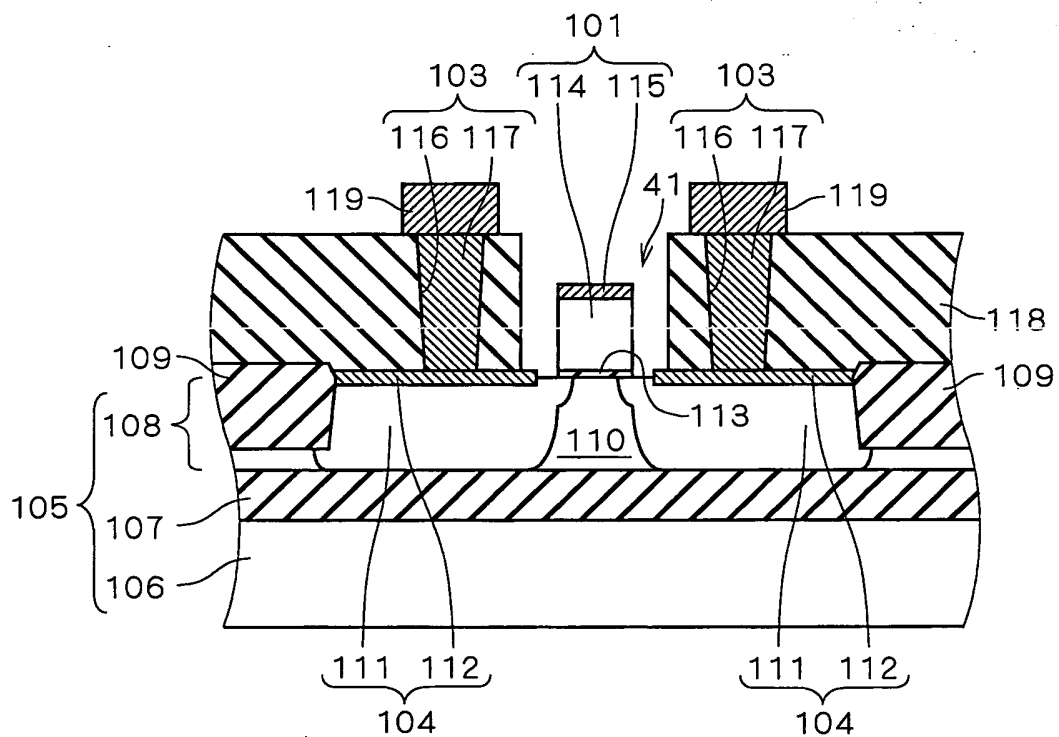
F I G . 24



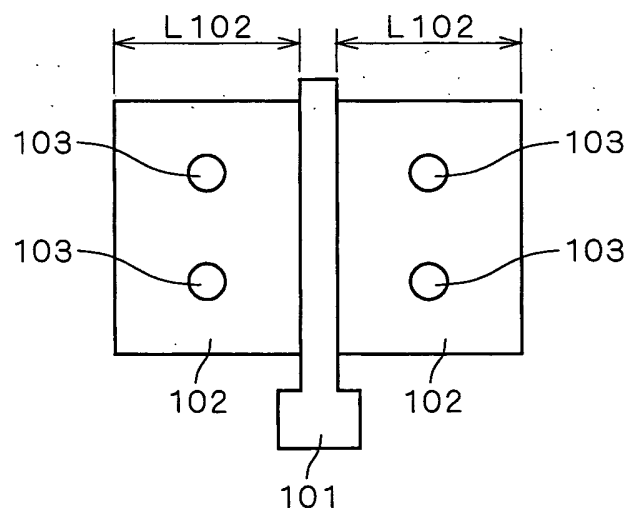
F I G . 25



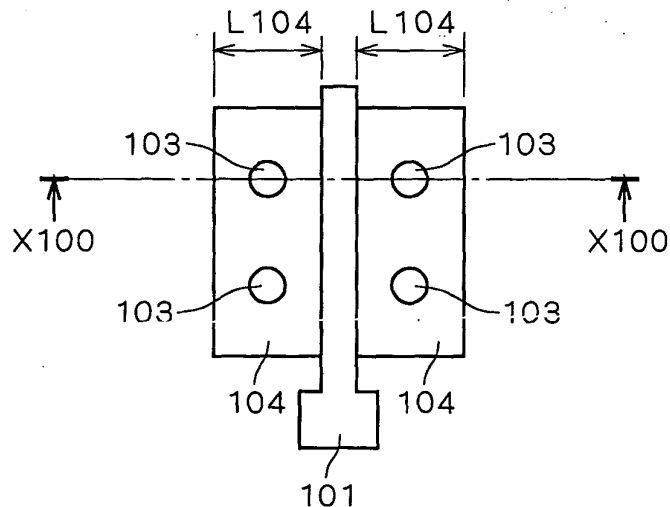
F I G . 26



F I G . 27



F I G . 28



F I G . 29

